

مطالعه‌ی ژئوشیمیایی سنگ‌های آتشفشانی میزبان و کانی‌شناسی دگرسانی آرژیلیک در کانسار مس پورفیری سرچشمۀ بر اساس داده‌های جدید

محمد معانی‌جو^{*}^۱، محمد مستقیمی^۱، مهدی عبدالله‌ی ریسه^۲ و ناهید صحرارو^۱

۱- گروه زمین‌شناسی، دانشگاه بولعلی‌سینا، همدان

۲- مجتمع معدنی مس سرچشمۀ، شرکت ملی صنایع مس ایران

*mohammad@basu.ac.ir

دریافت: ۹۱/۳/۱۷ پذیرش: ۹۲/۲/۲۹

چکیده

کانسار مس پورفیری سرچشمۀ بر روی نوار آتشفشانی ایران مرکزی یعنی کمربند آتشفشانی ارومیه – دختر قرار دارد، این کمربند مهم‌ترین کمربند فلزی‌ای ایران است. سنگ‌های آتشفشانی درونگیر این کانسار به لحاظ پتروگرافی عمدتاً در محدوده سنگ‌های آندزیتی و بعض‌ا در محدوده سنگ‌های داسیتی قرار می‌گیرند؛ به‌طوری که مطالعات پترولوزی نیز این نظر را تأیید می‌کند. سری ماقمایی سنگ‌های مذکور در محدوده کالکوآلکالن قرار می‌گیرد و مقادیر اکسیدهای MgO و FeO با افزایش SiO₂ روند نزولی را نشان می‌دهند؛ که نشانه‌ی تبلور بخشی کانی کلینوپیروکسن در طی تبلور ماقما است. مقدار CaO نمونه‌ها نیز کم و بیش کاهش می‌یابد که می‌تواند با تحول ترکیب پلازیوکلاز از کلسیک به سدیک در حین تبلور بخشی ماقما مرتبط باشد. محدوده سنگ‌های آتشفشانی کانسار سرچشمۀ در محدوده کمان‌های ماقمایی ناشی از فروزانش یک پوسته اقیانوسی به زیر یک پوسته قاره‌ای بوده است. براساس مطالعات پراش اشعه ایکس (XRD) عده کانی‌های موجود در دگرسانی آرژیلیک کانسار سرچشمۀ عبارتند از: کائولینیت، مونت-موریونیت، ایلیت – میکا (سرسیت)، کلریت، کوارتز و پیریت، که پیریت تنها کانی سولفیدی موجود در این زون بوده و این زون فاقد کانه‌زایی می‌باشد. در نتیجه این مطالعات تغییرات کانی‌های رسی در رخنمون موجود در محدوده غربی کانسار از داخل به سمت حاشیه ثابت است؛ اما در رخنمون موجود در محدوده شمالی کانی‌های رسی از داخل به سمت حاشیه و خارج کانسار دارای تغییراتی می‌باشند؛ به‌طوری که در نمونه‌های داخلی و نزدیک به توده نفوذی کائولینیت غالب بوده و به سمت حاشیه و قسمت‌های خارجی زون دگرسانی آرژیلیک کانسار، مونت‌موریونیت افزایش می‌یابد.

واژه‌های کلیدی: ژئوشیمی، کانی‌شناسی، دگرسانی آرژیلیک، کانسار مس پورفیری، سرچشمۀ

مقدمه

سرچشمۀ صورت گرفته است، به عنوان مثال واترمن و همیلتون [۲۲] به معرفی واحدهای سنگی مختلف و اطمینان [۱۰] به بررسی‌های پتروگرافی در کانسار مس پورفیری سرچشمۀ پرداختند، همچنین صفاری [۳] در بخش از پایان‌نامه‌ی خود به بررسی ژئوشیمیایی و تعیین سری ماقمایی در سنگ‌های منطقه اقدام کرده است. اما اطلاعات ژئوشیمیایی مورد استفاده در این پژوهش بر اساس نمونه‌های جدید و پله‌های تازه رخنمون یافته می‌باشد؛ لذا هدف از این مطالعه، بررسی سنگ‌های آتشفشانی درونگیر در محدوده معدنی کانسار مس پورفیری سرچشمۀ به لحاظ پتروگرافی و پترولوزیکی بوده و دگرسانی آرژیلیک کانسار مذکور به لحاظ کانی‌شناسی و کانه‌زایی مورد بررسی قرار می‌گیرد.

اکتشافات تفضیلی کانسار مس پورفیری سرچشمۀ در سال ۱۹۶۸ تا سال ۱۹۷۰ توسط شرکت انگلیسی سلکشن تراست^۱ آغاز و سپس توسط شرکت امریکایی آناکوندا تا سال ۱۹۷۳ دنبال شد. براساس ۶۶ هزار متر حفاری الماسی و ۱۷۲۰۰ متر تونل، معدن مس سرچشمۀ به وسعت ۲/۷ کیلومتر مربع، به شکل یک بیضی و با ذخیره کل ۱۲۰۰ میلیون تن کانستگ مس با عیار ۰/۶۹ درصد به عنوان بزرگ‌ترین معدن مس ایران شناخته و آماده بهره‌برداری گردید [۲]. همچنین عیار مولیبدن در این کانسار ۰/۰۳ درصد [۱] و عیار طلا ۰/۲۷ بی‌ام [۳] می‌باشد. تا کنون مطالعات زیادی برروی ویژگی‌های ژئوشیمیایی و سنگ‌شناختی کانسار مس پورفیری

^۱. Selection Trust

مطالعه، سن مجموعه از روی ارتباط سنگ‌شناسی و مقایسه با سازندهای مشابه در نواحی دیگر تخمین زده شده است. با این روش سن مجموعه را آئوسن بالایی در نظر گرفته‌اند [۲۳، ۸]. نهشته‌های رسوبی دوران سوم و چهارم در منطقه نیز گسترش چشمگیر و قابل ملاحظه‌ای دارند (شکل ۱).

روش کار

ابتدا از واحدهای مختلف سنگی که دارای دگرسانی کم-تری بوده‌اند، حدود ۳۰ نمونه برداشت و از تعدادی از آن‌ها مقطع نازک تهیه شد و با میکروسکوپ پلاریزان مورد مطالعه قرار گرفت. تعداد ۹ نمونه سنگی برای انجام آنالیز به روشن ICP-AES با استفاده از ذوب لیتیم متaborات^۲ به شرکت SGS کانادا فرستاده شد و عناصر اصلی موجود در آن‌ها اندازه‌گیری شد. در مطالعه مربوط به دگرسانی آرژیلیک کانسار سرچشمه، نمونه‌های دارای کانی‌های رسی از قسمت نزدیک به توده‌ی نفوذی و همچنین از قسمت‌های خارجی و نزدیک به دگرسانی پروپیلیتیک انتخاب گردید. در ابتدا نمونه‌های پودر شده جهت تهیه‌ی پودر در آورده و سپس نمونه‌های پودر شده جهت تهیه‌ی روش تیمار کردن یا تریدمنت^۳ کردن بروی نمونه‌ها انجام گرفت. در روش مذکور، ابتدا نمونه‌های رسی مورد نظر پودر شدند و سپس نمونه‌ها را داخل ب Shr ریخته و به ارتفاع ۱۰ سانتی‌متر آب و ماده پراکنده‌ساز (کلگون^۴ درصد) به آن اضافه نمودیم، که این ماده وظیفه جداسازی کانی‌های رسی را بر عهده دارد و آن را به مدت ۲۴ ساعت در همین وضعیت قرار می‌دهیم تا کانی‌های رسی به خوبی از هم جدا شوند. در مرحله‌ی بعد جهت حذف کلگون، نمونه‌ها چند بار با آب مقطر داخل دستگاه سانتریفیوژ شستشو داده شدند. در نهایت مقداری از نمونه‌ها را روی لام ریخته و چند ساعت در دمای اتاق قرار می‌دهیم تا خشک شود و در نهایت نمونه را داخل دسیکاتور قرار داده و اتیلن گلیکول (حدود ۵۰CC) را به دسیکاتور اضافه می‌نماییم. سپس دسیکاتور را بر روی هیتر با حرارت ۲۰ تا ۳۰ درجه‌ی سانتی‌گراد تنظیم می‌نماییم، تا اتیلن

معدن مس سرچشمه در استان کرمان، ۶۵ کیلومتری جنوب غربی شهرستان رفسنجان و ۳۶ کیلومتری شهرستان پاریز، در طول جغرافیایی^۱ ۵۵°۵۳' شرقی و عرض جغرافیایی^۱ ۲۹°۵۸' شمالی واقع شده است. کانسار مس پورفیری سرچشمه بر روی نوار ولکانیکی ایران مرکزی یعنی کمربند آتشفشنای ارومیه - دختر قرار دارد، که این کمربند مهم‌ترین کمربند فلزایی ایران است و بر کمربند کوهزایی آلپ - هیمالیا منطبق می‌باشد. از آن جایی که کمربند ارومیه - دختر نیجه‌ی فورانش پوسته اقیانوسی نفوتیس به زیر پوسته قاره‌ای ایران مرکزی است [۱۲]، همانند سایر کانسارهای ماغمایی حاشیه قاره، مانند آند و کردیلان میزبان کانسارهای مس - مولیبدن پورفیری و دیگر کانسارهای وابسته به این خاستگاه ژئودینامیکی می‌باشد. این فورانش و برخورد قاره‌ای از کرتاسه تا تریشیری ادامه داشته و از پالئوسن تا الیکومن باعث افزایش فعالیت آذرین پلوتونیک و آتشفشنای کالک آلکالن و آلکالن در این کمربند شده است [۱۰، ۲۲]. همچنین در طول زمان میوسن یک استوک کالک آلکالن پورفیری در منطقه‌ی سرچشمه نفوذ کرده است [۹]. فاز اصلی نفوذی و مولد کانسارسازی در منطقه‌ی سرچشمه همان استوک کالک آلکالن و با ترکیب گرانوڈیسوریت و به سن میوسن میانی می‌باشد [۲۲]. مطالعات چینه‌شناسی نشان می‌دهد، استوک پورفیری سرچشمه در سنگ‌های آتشفشنای - رسوبی به سن آئوسن، که یکی از جالب‌ترین ساختارهای زمین‌شناسی در ناحیه‌ی کرمان است، نفوذ کرده و آن‌ها را تحت تاثیر دگرسانی قرار داده است. لذا قدیمی‌ترین واحدهای سنگی محدوده‌ی معدن سنگ‌های آتشفشنای آئوسن هستند [۴، ۲۳] و عمدتاً ترکیب آندزیتی دارند، که همراهی آن‌ها با رسوبات این دوره نشان‌دهنده‌ی یک محیط آتشفشنای - رسوبی زیردریایی در آن زمان می‌باشد [۲۲، ۱۰، ۲۳]. در نیجه قسمت اعظم این مجموعه از سنگ‌های مختلف با منشاء آتشفشنای تشکیل شده است و سنگ‌های قدیمی‌تر در منطقه‌ی مورد مطالعه که پایه این تشکیلات را به وجود آورده‌اند، رخنمون ندارند و به همین دلیل بیشتر سازندهای مورد برسی مربوط به ترشیری و بعد از آن می‌باشند. سنگ‌های نفوذی و نیمه عمیق و همچنین دایکها، این مجموعه را در بسیاری از نقاط قطع کرده‌اند و به دلیل نبود فسیل در منطقه‌ی مورد

² Lithium metaborate fusion

³ Treatment

که حضور این کانی‌های را می‌توان با تأثیر دگرسانی پروپیلیتیک و آرژیلیک به خوبی توجیه کرد.

ژئوشیمی سنگ‌های آتشفشنایی درونگیر کانسار مس پورفیری سرچشممه:

نام‌گذاری سنگ‌های آتشفشنایی منطقه: با توجه به داده‌های شیمیایی سنگ کل از ۹ نمونه‌ی سنگ (جدول ۱)، درصد SiO_2 این سنگ‌ها بین ۵۵ تا ۷۴ درصد متغیر است و در نمودار تغییرات $\text{K}_2\text{O} + \text{Na}_2\text{O}$ در مقابله SiO_2 [۷] در محدوده‌ی آندزیت و داسیت قرار می‌گیرند (شکل ۳). همچنین به علت دقت عناصر کمیاب در بررسی و نام‌گذاری سنگ‌های مختلف از این عناصر نیز استفاده شده است. بدین منظور نمودارهای وینچستر و فلواید [۲۴] به کار گرفته شده‌اند. در این نمودارها نسبت Zr/TiO_2 در مقابل SiO_2 و Nb/Y مورد بررسی قرار می‌گیرد (شکل‌های ۴ و ۵). لذا پس از بررسی نمونه‌ها در این نمودارها، اکثر آن‌ها در محدوده‌ی سنگ‌های آندزیتی و بعض‌اً در محدوده‌ی سنگ‌های داسیتی قرار می‌گیرند. لذا با توجه به مطالعات پترولوزیکی با استفاده از نمودارهای عنوان شده و همچنین مطالعات پتروگرافی، ترکیب بیشتر سنگ‌های آتشفشنایی منطقه آندزیتی و بعض‌اً داسیتی می‌باشد.

تعیین سری ماغماهی

به منظور تعیین سری ماغماهی سنگ‌های آتشفشنایی درونگیر کانسار مس پورفیری سرچشممه از دو نمودار استفاده شده است. بر اساس نمودار AFM که مربنده‌ی های آن توسط ایروین و باراگار [۱۶] انجام گردیده است، همه‌ی نمونه‌های مورد مطالعه در محدوده کالکوآلکان واقع می‌شوند (شکل ۶). سایر خصوصیات سنگ‌شناسی این سنگ‌ها از قبیل؛ غالب بودن پلازیوکلاز به ارتوکلаз، آندزیتی بودن واحدهای سنگی و همچنین جایگاه فرورانشی سنگ‌های منطقه‌ی مورد مطالعه این امر را تأیید می‌کند. نمودار دوم که چهار سری ماغماهی را از یکدیگر جدا می‌کند، نمودار SiO_2 در مقابل K_2O [۲۱] می‌باشد. نمونه‌های مورد بررسی که دامنه‌ی تغییرات K_2O در آن‌ها نسبتاً وسیع است (۰/۴۲ تا ۵ درصد وزنی)، در این نمودار در سری کالکوآلکان غنی از پتاسیم قرار می‌گیرند

گلیکول موجود در آن به مدت ۵ تا ۶ ساعت بخار شود و بروی لام بشینید و بلافصله نمونه را جهت تهیه پراش اشعه‌ی ایکس به آزمایشگاه منتقل و تا آنالیز XRD پراش اشعه‌ی ایکس بر روی آن‌ها صورت پذیرد. آنالیز پراش Cu $\text{K}\alpha$ و Italstructures شرایط ۴۰ کیلو ولت و ۳۰ میلی‌آمپر در آزمایشگاه بوعلی-سینا همدان انجام گردید.

پتروگرافی سنگ‌های آتشفشنایی درونگیر کانسار سرچشممه:

بر اساس مطالعات صورت گرفته در معدن مس پورفیری سرچشممه، هفت واحد سنگی وجود دارد که شامل استوک‌های پورفیری سرچشممه و پورفیری دانه‌ریز تاخیری، ولکانیت‌های آندزیتی و دایک‌های هورنبلند پورفیری پیشین، هورنبلند پورفیری پسین، فلدوسپار پورفیری و بیوتیت پورفیری می‌باشد [۲]. لذا به علت مطالعه بر روی سنگ‌های آتشفشنایی میزبان کانسار سرچشممه صرفاً به مطالعه‌ی پتروگرافی و پترولوزی این گروه‌های سنگی می‌پردازیم.

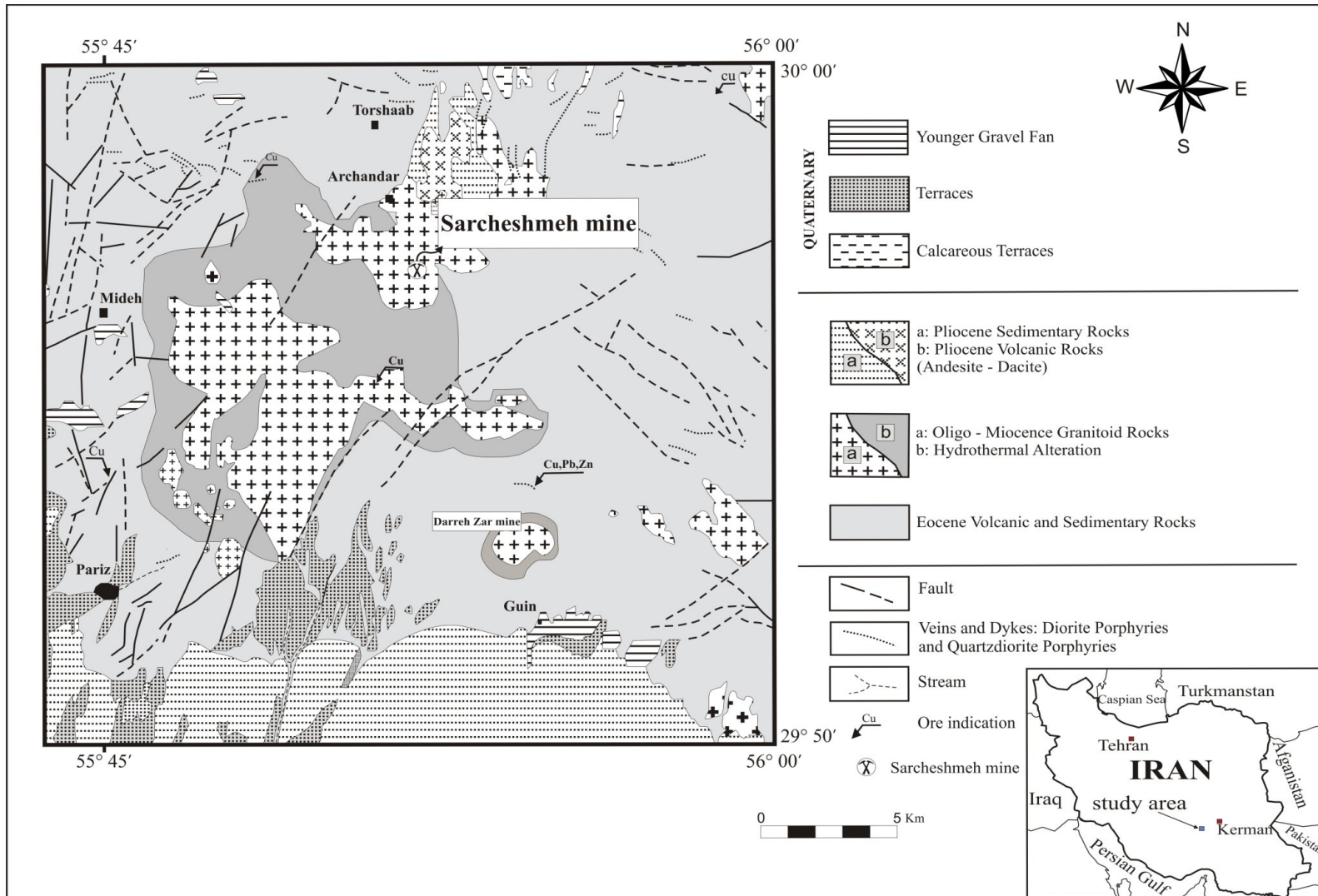
آندرزیت‌های اوسن که سنگ دیواره‌ی معدن را تشکیل می‌دهند، قسمت عمده‌ی سنگ‌های آتشفشنایی منطقه را شامل می‌شوند و با نفوذ استوک پورفیری سرچشممه با سن میزبان میانی [۲۲] در این آندزیت‌ها، حدود نیمی از کانسارسازی مس به وقوع پیوسته است و در واقع سنگ میزبان معدن به حساب می‌آیند. این واحد سنگی بیشتر از آندزیت و داسیت تشکیل شده است، که بافت پورفیریک با خمیره‌ی میکرولیتیک در آندزیت‌ها و پورفیریک با خمیره‌ی میکروگرانولار در داسیت‌ها بهوضوح قابل مشاهده است (شکل ۲). کانی اصلی در آندزیت‌ها فقط پلازیوکلاز می‌باشد و در داسیت‌ها علاوه بر پلازیوکلاز، بیوتیت، آمفیبیول، کوارتز و به مقدار کم فلدوسپار آلکان حضور دارد. کانی‌های ثانویه موجود در آن‌ها عبارتنداز؛ کلریت، مسکوویت، کلسیت، سرسیت و کانی‌های اپاک. خمیره در آندزیت‌ها از میکرولیت‌های پلازیوکلاز و مقدار کمی شیشه تشکیل یافته و در گونه‌ی دیگر، پلازیوکلاز، کوارتز و آلکالی فلدوسپار میکروگرانولار به صورت خمیره در زمینه‌ی سنگ دیده می‌شوند. کانی‌های ثانویه این تیپ از سنگ‌ها شامل رس، کلریت، سرسیت، کلسیت و اپیدوت می‌باشد

فرآیند دگرسانی در سنگ‌های منطقه باشد.

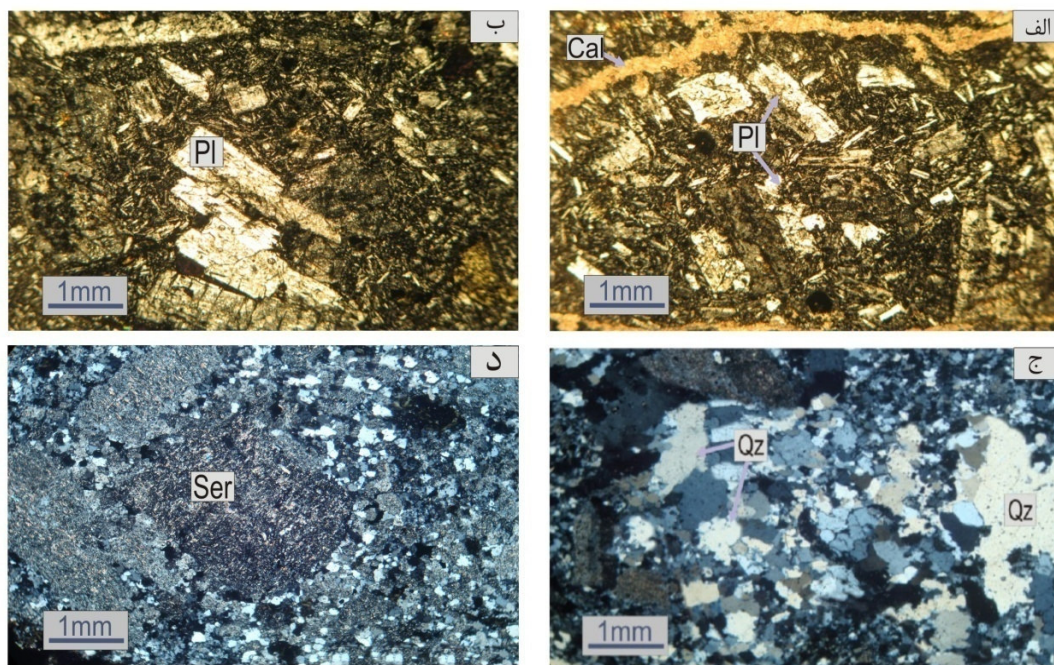
(شکل ۷). تنوع و پراکندگی نمونه‌ها از لحاظ مقدار K_2O می‌تواند ناشی از تحرک‌پذیری عنصر پتاسیم در حین

جدول ۱. نتایج آنالیز شیمیایی سنگ‌های آتشفشاری درونگیر کانسار مس بورفیری سرچشمه به روش ICP-AES

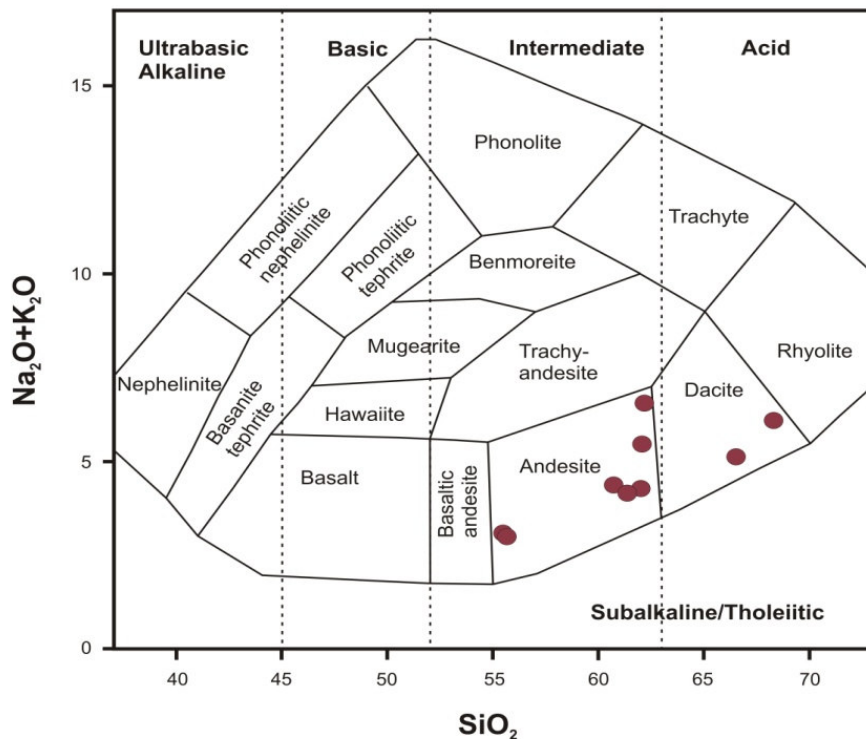
	Sar 126	Sar 127	Sar 128	Sar 129	Sar 130	Sar 131	Sar 132	Sar 133	Sar 134
SiO_2	۵۵/۷	۵۵/۵	۶۲/۳	۶۰/۸	۶۲/۱	۶۱/۴۲	۶۶/۶	۶۲/۴۵	۶۸/۴
Al_2O_3	۱۶/۲	۱۴/۹	۱۵/۲	۱۵/۸	۱۶/۸	۱۵/۱	۱۵/۵	۱۶/۹	۱۵/۹
Fe_2O_3	۷/۴	۷/۴۶	۶/۱	۵/۲۳	۵/۵۴	۶/۳۷	۴/۵۱	۴/۹۸	۳/۷۷
CaO	۲/۹۸	۶/۱۹	۳/۹۲	۳/۸	۳/۰۲	۳/۶	۱/۸۳	۱/۴۲	۱/۸۲
MgO	۵/۸۳	۳/۳۲	۱/۵۳	۲/۶۱	۳/۱۵	۲/۹۷	۱/۴۱	۲/۴۳	۲/۰۷
Na_2O	۱/۲	۱/۴	۴	۲/۱	۰/۲	۱/۴	۱/۲۱	۳/۲	۳/۱
K_2O	۱/۸۳	۱/۷	۱/۰۳	۲/۳۱	۴/۱	۲/۸	۳/۸۹	۳/۳۹	۲/۹۸
TiO_2	۰/۰۲	۰/۰۵	۰/۰۸	۰/۰۹	۰/۴	۰/۳۳	۰/۵۱	۰/۴۹	۰/۶۸
MnO	۰/۰۸	۰/۱۶	۰/۰۶	۰/۰۲	۰/۰۲	۰/۰۶	۰/۳۸	۰/۱۴	۰/۰۲
P_2O_5	۰/۲	۰/۱	۰/۲۲	۰/۲۸	۰/۱۲	۰/۲۴	۰/۲	۰/۲۸	۰/۲۵
LOI	۸/۲۳	۷/۸۶	۴/۶۶	۶/۳۱	۵/۱۵	۵/۶۸	۴/۰۳	۴/۱۲	۱/۲۹
Total	۱۰۰/۱۷	۹۹/۱۴	۱۰۰/۱	۹۹/۸۵	۱۰۰/۶	۹۹/۹۷	۱۰۰/۰۷	۹۹/۸	۱۰۰/۲۸
V	۱۰۷	۱۱۷	۱۰۶	۶۱	۳۵	۱۱۴	۲۲۷	۸۴	۹۱
Co	۲۰/۱	۲۷/۲	۱۱/۸	۸/۵	۵	۱۰/۹	۳۵/۵	۱۵/۴	۱۷/۳
Ni	۱۲۹	۴۶	۱۷	۶	۱۲	۲۴	۱۱/۸	۱۶	۱۱
Cu	۸۱۷	۱۴۲	۶۸	۴۴۳۰	۱۷۰۰	۶۵۵۰	۱/۷	۹۶	۲۲۲۰
Zn	۲۶	۱۵۲	۱۲۰	۷	۱۵	۲۶	۰/۶۵	۲۰۴	۵۸
Ga	۱۵	۲۱	۱۹	۱۸	۱۴	۱۲	۰/۱۸	۲۱	۱۶
Rb	۱۳/۱	۸۲/۲	۹۲	۱۴۰	۱۴۴	۱۳۷	۶	۱۲۳	۱۰۸
Sr	۲۴۰	۳۹۰	۴۴۰	۲۳۰	۱۱۰	۱۱۰	۳۸۰	۱۸۰	۴۹۰
Y	۵	۴/۲	۵	۶	۵	۵	۳/۶	۵	۵
Zr	۸۰	۹۰	۹۳	۹۲	۱۰۰	۹۵	۱۱۰	۱۱۰	۱۲۰
Nb	۲	۲	۱	۲	۳	۲	۲	۳	۲
Ba	۸۰	۵۰۰	۸۶۰	۲۹۰	۵۱۰	۶۶۰	۶۸۰	۷۶۰	۷۸۰
Pr	۳/۱۸	۵/۶۱	۴/۶۴	۵/۲	۴/۱۴	۶/۲۵	۳/۶۲	۶/۲	۵/۷
Sn	۱	۱	۱	۵	۱	۱	۲	۱	۱
Gd	۲/۶۴	۳/۱۳	۲/۱۶	۲/۳۷	۱/۵۴	۳/۰۶	۱/۴۴	۲/۲۷	۲/۳
Th	۲/۷	۰/۸	۹/۵	۲۸/۳	۲۷/۱	۶/۶	۰/۶۷	۱۵	۱۲/۳
Ho	۰/۰۳	۰/۳۹	۰/۲۸	۰/۳۹	۰/۲۲	۰/۵۶	۰/۱۹	۰/۳	۰/۲۹
Tm	۰/۰۳	۰/۱۴	۰/۱۳	۰/۱۷	۰/۱۱	۰/۲۳	۰/۰۸	۰/۱	۰/۱۱
U	۲/۱۶	۳/۲۳	۴/۰۱	۸/۵	۵/۶۲	۲/۰۵	۰/۱۳	۰/۳۱	۳/۹۵
W	۴۵	۴	۵	۳۵	۲۳	۲۰	۱۰	۶	۲۰
Ag	۰/۵	۰/۵	۰/۵	۰/۵	۰/۵	۰/۵	۰/۵	۰/۵	۰/۵
Mo	۳	۴	۴	۱۵	۷۱	۸۷۳	۴	۳	۸۰
Ba	۵۴۸	۶۳۳	۵۸۱	۷۲۴	۸۲۰	۶۵۴	۷۲۰	۵۵۲	۶۲۰
La	۲۸/۴	۳۰/۲	۳۱/۳	۳۸/۶	۲۸/۲	۳۳/۹	۳۲/۵	۲۴/۸	۲۹/۹



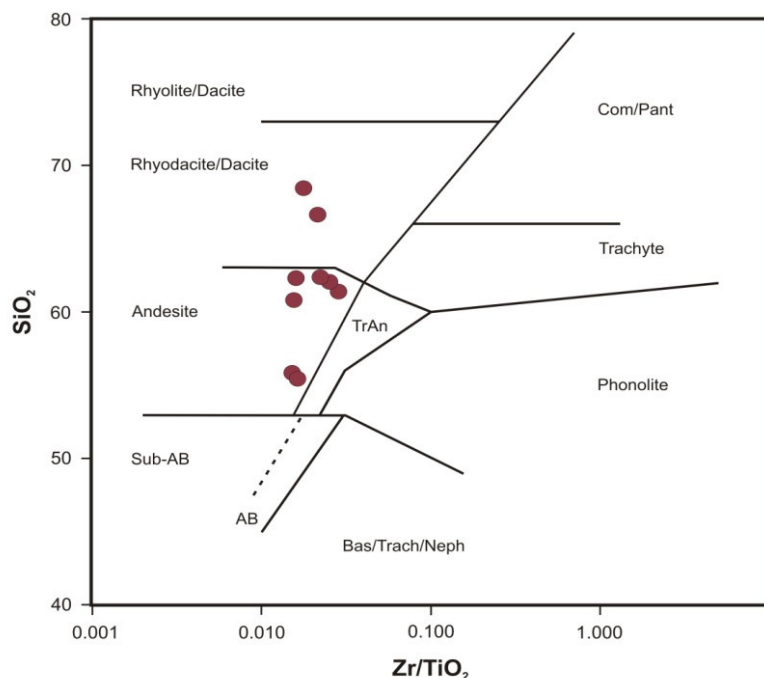
شکل ۱. نقشه‌ی زمین‌شناسی منطقه‌ی سرچشمۀ [۸].



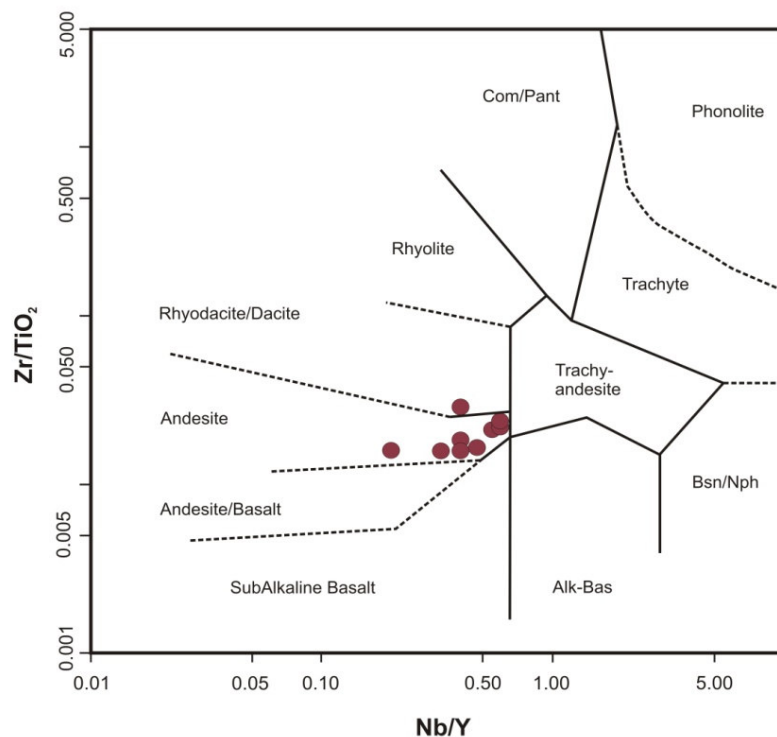
شکل ۲. الف و ب) تصاویر میکروسکوپی مربوط به سنگ‌های آندزیتی (مقاطع ۱۲۶ Sar و ۱۶۱ Sar): الف: زمینه‌ی دانه‌ریز تا شیشه‌ای و رگه‌هایی از کلسیت در آندزیت. ب: فنوکریست‌های پلازیوکلاز در زمینه‌ای شیشه‌ای و دانه‌ریز. ج و د) تصاویر میکروسکوپی مربوط به سنگ‌های داسیتی (مقاطع ۱۳۰ Sar و ۱۱۳-۵R Sar): ج: بلورهای کوارتز در زمینه‌ای میکروگرانولار. د: فنوکریست‌های پلازیوکلاز که در اثر دگرسانی به سرسیت تبدیل شده‌اند. تصاویر در وضعیت XPL تهیه شده است (Pl: پلازیوکلاز، Ca: کلسیت، Qz: کوارتز، Ser: سرسیت).



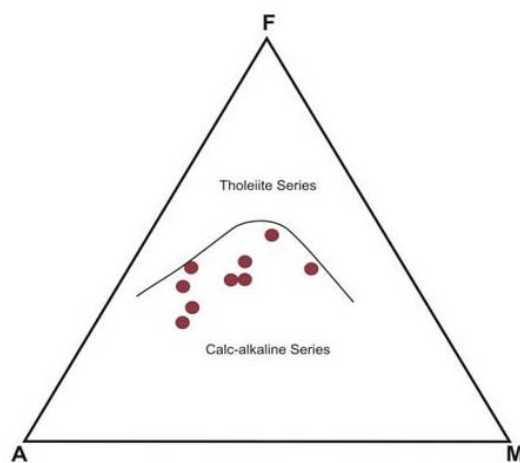
شکل ۳. موقعیت سنگ‌های آتشفشاری درونگیر کانسار مس پورفیری سرچشممه با استفاده از نمودار Cox [۷].



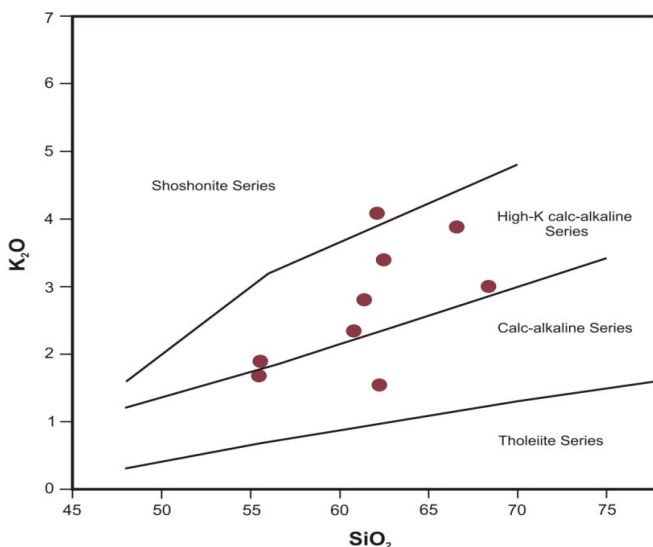
شکل ۴. موقعیت سنگ‌های آتشفشانی درونگیر کانسار مس پورفیری سرچشمۀ با استفاده از Zr/TiO_2 در مقابل [۲۴] Floyd و Winchester در نمودار SiO_2



شکل ۵. موقعیت سنگ‌های آتشفشانی درونگیر کانسار مس پورفیری سرچشمۀ با استفاده از Nb/Y در مقابل [۲۴] Floyd و Winchester در نمودار Zr/TiO_2



شکل ۶. نمودار AFM برای تعیین سری ماقمایی سنگ‌های آتشفشاری کانسار سرچشمه [۱۶].

شکل ۷. تعیین سری ماقمایی سنگ‌های آتشفشاری کانسار سرچشمه در مقابله K_2O در دیاگرام K_2O - SiO_2 [۲۱].

تعیین محیط تکتونیکی

به منظور تعیین محیط تکتونیکی سنگ‌های آتشفشاری منطقه‌ی مورد مطالعه از نمودارهایی استفاده شده است که عناصر کمیاب کم‌تحرکی مانند Ti، Zr و ... سازنده‌های آن باشند. این عناصر نسبتاً غیر متحرک بوده و در هنگام فرآیندهایی همچون هوازدگی، دگرسانی و دگرگونی حساسیت نشان نداده و وارد فاز سیال نمی‌گردد. لذا همان‌طور که در شکل ۹-الف مشاهده می‌شود، کلیه نمونه‌های منطقه در محدوده کالکو آلکالن واقع می‌شوند. همچنین سنگ‌های آتشفشاری منطقه مورد مطالعه در نموداری که توسط گیل [۱۲] ارائه شده است در محدوده‌ی آندزیت‌های کوه‌زایی قرار می‌گیرند (شکل ۹-ب).

بررسی تغییرات عناصر اصلی در نمودارهای هارکر

پس از بررسی عناصر اصلی در مقابله SiO_2 برای سنگ‌های آتشفشاری میزبان کانسار سرچشمه، با استفاده از نمودارهای هارکر مشخص شد که اکثر اکسیدهای اصلی به جز FeOt، MgO و CaO روند مشخصی را نشان نمی‌دهند. لذا مقادیر FeOt و MgO با افزایش SiO_2 روند نزولی دارند (شکل ۸)، که این امر می‌تواند نشانه تبلور بخشی کانی کلینوپیروکسن در طی تبلور ماقما باشد [۱۴]. همچنین مقدار CaO نمونه‌ها کم و بیش کاهش می‌باید که این امر می‌تواند مرتبط با تحول ترکیب پلازیوکلاز از کلسیک به سدیک در حین تبلور بخشی ماقما باشد.

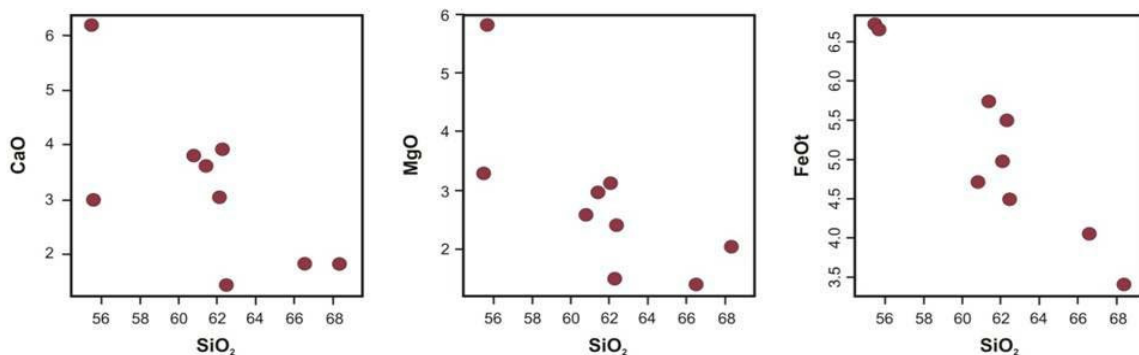
کانسار مس پورفیری سرچشمه قابل مقایسه با الگوی دگرسانی دیگر کانسارهای مس پورفیری توصیف شده توسط لوول و گیلبرت [۱۷] می‌باشد. بدین ترتیب دگرسانی پاتاسیک در مرکز سیستم و دگرسانی بیوتیتی در سنگ‌های دیواره‌ای توسعه یافته و هر دو توسط دگرسانی فیلیک تحت تأثیر قرار گرفته‌اند. دگرسانی پروپیلیتیک به طرف خارج سیستم در سنگ‌های آندزیتی دیواره‌ای گسترش یافته است [۱]. دگرسانی هیدروترمال و کانه‌زایی در سرچشمه بر روی استوک متمرکز بوده و به‌طور گسترده‌ای هم‌زمان با جایگزینی آن واقع شده است [۱]. چهار زون دگرسانی از داخل به‌طرف خارج شامل پاتاسیک، فیلیک یا سرسیتی، آرزیلیک یا رسی و پروپیلیتیک می‌باشد (شکل ۶).

حال با توجه به این که هدف از این مطالعه بررسی کانی‌شناسی و ویژگی‌های کانیایی دگرسانی آرزیلیک در کانسار مس پورفیری سرچشمه می‌باشد، منحصراً به بررسی این زون دگرسانی می‌پردازیم.

در نمودارهای که توسط مولر و گراوز [۱۸] ارائه شده است سنگ‌های منطقه‌ی مورد مطالعه در محدوده‌ی کمان‌های ماقمایی ناشی از فرونش قرار می‌گیرند (شکل ۹-پ و ۹-ت). همچنین جهت تمایز کمان ماقمایی حاشیه‌ی قاره‌ای فعال از کمان ماقمایی جزایر قوسی، از نمودارهای پیرس و همکاران [۲۰] استفاده شده است، لذا با توجه به این نمودارها به نظر می‌رسد که کمان ماقمایی سازنده سنگ‌های منطقه، ناشی از فرونش یک پوسته اقیانوسی به زیر یک پوسته قاره‌ای بوده است (شکل ۹-ث).

دگرسانی آرزیلیک کانسار مس پورفیری سرچشمه و کانه‌زایی در آن

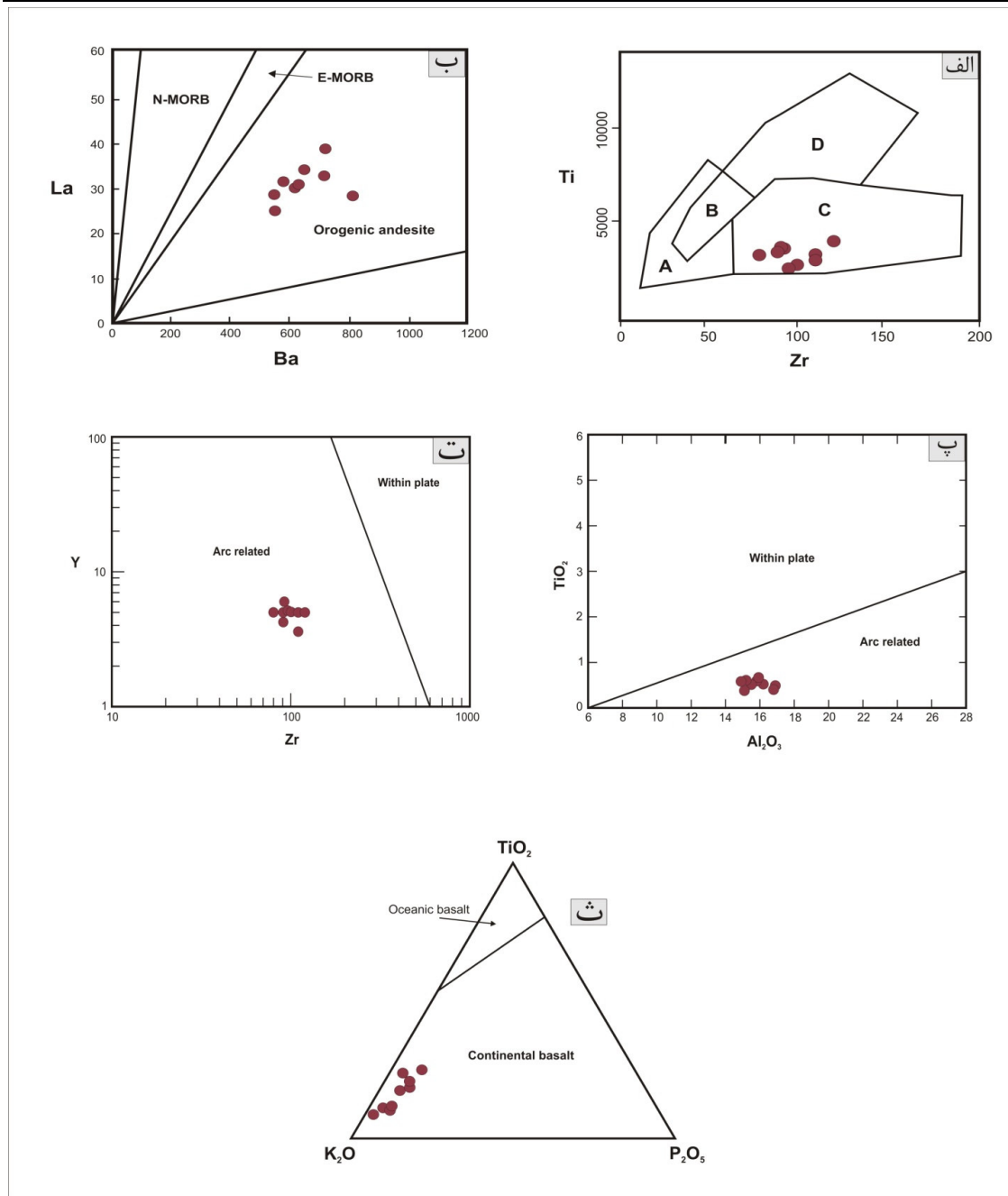
کانسارهای تیپ پورفیری معمولاً همراهی نزدیکی با توده‌های نفوذی پلوتونیک حدوداً تا اسیدی داشته و از روی دگرسانی گرمایی شدید و گستره‌ی سنگ میزان مشخص می‌شوند [۱۱]. حال با توجه به مطلب عنوان شده می‌توان به اهمیت دگرسانی گرمایی در اکتشاف و مطالعه‌ی این تیپ کانسارها پی برد. الگوی دگرسانی



شکل ۸. روند تغییرات تعدادی از عناصر اصلی نسبت به SiO_2 در نمودار هارکر.

جدول ۲. اطلاعات مربوط به موقعیت و ارتفاع نمونه‌های انتخابی برای مطالعه دگرسانی آرزیلیک کانسار مس پورفیری سرچشمه.

نام نمونه	طول و عرض جغرافیایی	ارتفاع (متر)	توضیحات
Sar 123 - 1	N: ۲۹° ۵۷' ۱۰/۹"	۲۶۳۷	نزدیکتر به توده‌ی نفوذی در محدوده‌ی شمالی کانسار
	EO: ۵۵° ۵۱' ۴۷/۶"		
Sar 123 - 2	N: ۲۹° ۵۷' ۸/۱"	۲۶۷۸	به‌سمت حاشیه‌ی کانسار در محدوده‌ی شمالی
	EO: ۵۵° ۵۱' ۴۶/۷"		
Sar 137 - 1	N: ۲۹° ۵۶' ۵۹/۱"	۲۶۹۰	نزدیک به توده‌ی نفوذی در محدوده‌ی غربی کانسار
	EO: ۵۵° ۵۱' ۴۱/۶"		
Sar 137 - 2	N: ۲۹° ۵۷' ۰ ۱/۱"	۲۷۳۲	به‌سمت حاشیه‌ی کانسار در محدوده‌ی غربی
	EO: ۵۵° ۵۱' ۴۰/۱"		



شکل ۹. تعیین محیط تکتونیکی سنگ‌های آتشفشانی منطقه‌ی مورد مطالعه (الف) با استفاده از نمودار [۱۹]، [۲۰]، پ و ت) نمودار از Pearce and Cann [۱۸]، [۲۱]، ث) نمودار از Muller and Groves [۱۳]، [۲۲].

بالا وجود دارد در صورتی که این دگرسانی در بعضی از کانسارها از جمله کانسار مس پورفیری سرچشمه بهصورت منقطع و فقط در بعضی از قسمت‌های محدوده‌ی معدنی قابل مشاهده است. کانی‌های معروف این زون عبارتند از: کالولینیت، مونتموریونیت، کلسیت، سرسیت، پیریت و گاهی آلونیت نیز گزارش شده است. بین و بودنار [۵] معتقدند که در

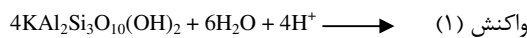
دگرسانی آرژیلیک

در کانسار مس پورفیری سرچشمه این زون در بالای زون دگرسانی سرسیتی (فیلیک) واقع شده و عمدتاً در قسمت‌های غربی و شمالی محدوده‌ی معدن و پله‌های ایجاد شده دیده می‌شود. معمولاً تصور بر این است که دگرسانی آرژیلیک به صورت گستردگی و همه‌گیر بین دگرسانی سرسیتی (فیلیک) در پایین و دگرسانی بروپیلیتیک در

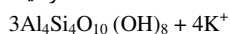
این واکنش به همراه واکنش (۲) باعث افزایش درصد SiO_2 شده که نتیجه آن ایجاد فرآیند سیلیسیزایی در منطقه بوده و مقدمه‌ای برای تشکیل دگرسانی آرژیلیکی در سنگ‌های میزبان محدوده‌ی سرچشم و در اطراف رگه‌ها می‌شود.

همان‌طور که عنوان شد دگرسانی آرژیلیک در کانسار سرچشم همانند دیگر کانسارهای پورفیری به صورت منقطع و پراکنده دیده می‌شود و با توجه به رخمنون این دگرسانی در شمال و غرب محدوده‌ی معنی بـه تغییرات کانی‌های رسی و کانه‌زایی در این محدوده‌ها پرداخته‌ایم. دو نمونه از هر قسمت انتخاب شده است، یکی از قسمت تحتانی دگرسانی و نزدیک به توده‌ی نفوذی و دیگری از قسمت فوقانی و نزدیک به حاشیه‌ی کانسار انتخاب شده‌اند (اطلاعات مربوط به نقاط نمونه‌داری در جدول ۲ ارائه شده است). نتایج مطالعات از نمونه‌ی قسمت تحتانی و فوقانی محدوده‌ی غربی حضور کانی‌های رسی: کائولینیت، ایلیت-میکا، کوارتز و پیریت را به عنوان تنها کانی سولفیدی تأیید می‌کند و با توجه به آنالیزهای انجام شده، تغییرات این کانی‌ها از داخل یا قسمت تحتانی دگرسانی به سمت قسمت فوقانی یا حاشیه کانسار دیده نشده است (شکل ۱۰)، همچنین با توجه به این که این نمونه‌ها فاقد مخلوط لایه هستند، روش تیمار کردن بر روی آن‌ها انجام شده است، که نتایج حاصل حضور کانی‌های مذکور و عدم حضور مونتموریونیت را تأیید می‌کنند (شکل ۱۱). از طرفی پیک‌های حاصل، حضور پیریت را به عنوان تنها کانی سولفیدی نشان می‌دهند و این نتایج بیانگر آن است که این محدوده از دگرسانی آرژیلیک کانسار سرچشم مفروض کانه‌زایی می‌باشد. البته این نمونه‌ها به دلیل احتمال وجود کانی‌های سولفیدی مهم از نظر اقتصادی به وسیله‌ی محلول‌های سنگین نیز مورد مطالعه قرار گرفته‌اند که نتایج حاصل حضور پیریت را در این محدوده تأیید می‌کند. اوائز [۱۱] معتقد است که، در کانسارهای مس پورفیری کائولینیت با نزدیکتر شدن به توده‌ی نفوذی فراوان شده و با دور شدن از آن، مونتموریونیت افزایش می‌یابد و کوربیت [۶] بیان می‌کند که دگرسانی آرژیلیک در اعمق بیشتر ایلیتی و کائولینیتی بوده و به سمت بالا و حاشیه‌ی کانسار به مجموعه‌ی ایلیت-اسمکتیت و اسماکتیت تبدیل می‌شود و در صورت پایین بودن سولفید

طی این دگرسانی همه کانی‌های تشکیل‌دهنده‌ی سنگ به طور کامل به کانی‌های رسی، سرسیت، کوارتز و هماتیت دگرسان می‌شوند. همان‌طور که عنوان شد، قدیمی‌ترین واحدهای سنگی در محدوده‌ی معنی، سنگ‌های آتش‌شکنی ائوسن [۴] و عمدتاً دارای ترکیب آندزیتی و ریولیتی می‌باشند، که استوک پورفیری سرچشم با ترکیب گرانوڈیوریت تا تونالیت و با سن میوسن میانی [۷] در این آندزیت‌ها به عنوان سنگ همبر نفوذ کرده است. لذا در سنگ‌های آندزیتی اولیه و استوک پورفیری سرچشم، مقدار پلاژیوکلاز و فلدوپارهای قلیایی بالا است و در نتیجه این کانی‌ها در اثر هجوم آب‌های زیرزمینی که به‌واسطه‌ی برخورد با استوک پورفیری سرچشم گرم شده و همچنین به دلیل حضور پیریت و دیگر کانی‌های سولفیدی در مسیر حرکت به سمت بالا، خاصیت اسیدی پیدا کرده، کاتیون‌های موجود در ساختار خود (از قبیل $\text{Na}, \text{Ca}, \text{K}$ اکسیژن را در ساختار خود نگه می‌دارند، که حضور این عنصر باعث تشکیل کانی‌های رسی می‌شود. سیال هیدروترمالی که باعث این دگرسانی شده است دارای دمای پایین و شوری پایین تا متوسط می‌باشد که یک سیال جوی است و مسئول اصلی دگرسانی پروپیلیتیک می‌باشد و با نفوذ به داخل استوک، باعث تشکیل دگرسانی آرژیلیک شده است [۱۵]. به طوری که بین و بودنار [۵] معتقد‌ند دگرسانی آرژیلیک در کانسارهای پورفیری تحت تأثیر محلول‌های گرمابی اولیه به وجود نمی‌آید و بیشتر در اثر فرآیندهای سوپرژن ایجاد می‌شوند. چنانچه پس از تشکیل سرسیت و به وجود آمدن دگرسانی سرسیتی K^+/H^+ و درجه حرارت در سیال کاهش یابد، طبق واکنش زیر می‌تواند کائولینیت حاصل شود:



سرسیت



کائولینیت

همان‌طور که مشاهده می‌شود واکنش (۱) همراه با کاهش H^+ و افزایش pH در محیط می‌باشد و در واکنش زیر هم مونتموریونیت جایگزین آلبیت می‌شود:

(واکنش ۲)



مونتموریلونیت

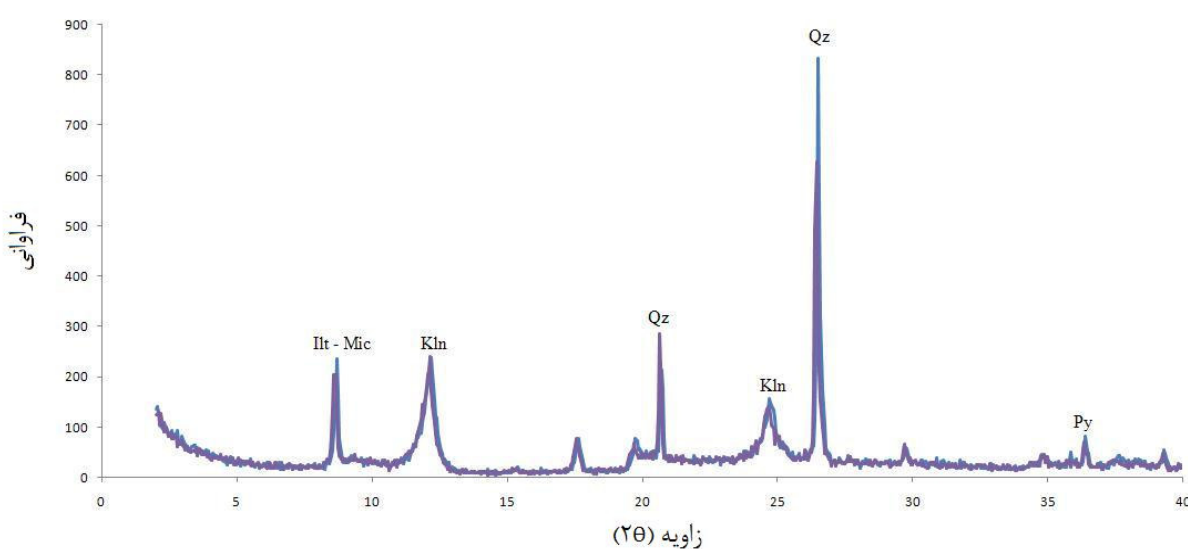


نمونه‌ی قسمت‌های تحتانی و فوقانی حضور ایلیت-میکا (سرسیت)، کائولینیت، مونتموریونیت، کلریت، کوارتز را تأیید می‌کند (شکل ۱۲ و ۱۳).

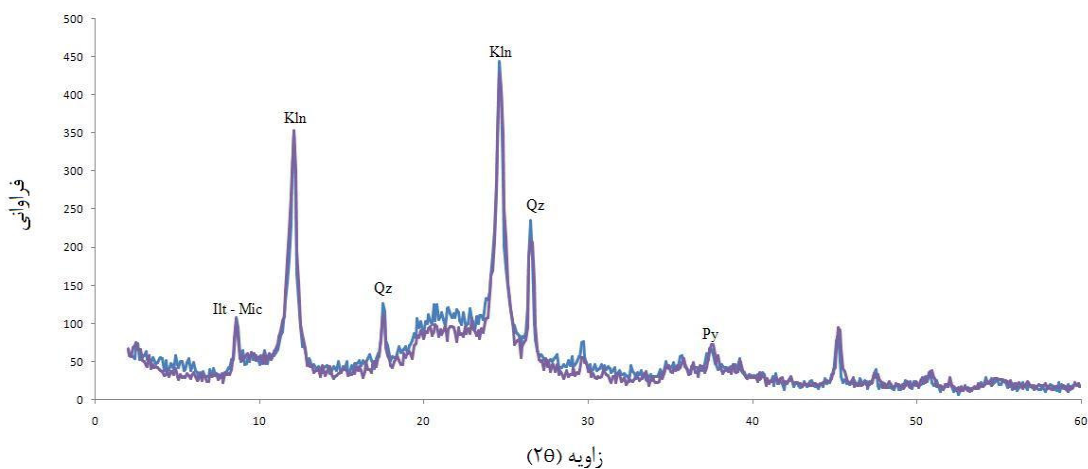
به علت وجود مخلوط لایه در پیک‌های حاصل از این قسمت‌ها (شکل ۱۲) از روش تیمار کردن استفاده شده است، که با انجام این عمل حضور کانی‌هایی از قبیل مونتموریونیت و کلریت در نمونه‌های این قسمت محرز شده است. تغییرات کانی‌های رسی از داخل به سمت حاشیه و خارج بدین صورت است که در نمونه‌های داخلی و نزدیک به توده کائولینیت بیش از قسمت خارجی می‌باشد و در نمونه‌های حاصل از قسمت خارجی مونتموریونیت افزایش می‌یابد (شکل ۱۳).

مطالعه این نمونه‌ها با محلول‌های سنگین و بررسی آن‌ها در زیر میکروسکوب باینوسکولار، حضور اکسیدهای آهن از قبیل هماتیت را در آن‌ها ثابت می‌کند، لذا عدم حضور پیک هماتیت در پیک‌های حاصل می‌تواند به دلیل فراوانی کمتر از ۵ درصد آن‌ها در نمونه‌های مورد مطالعه باشد. در این محدوده نیز کانه‌زنی انجام نشده و در صورت حضور به ندرت با رگه‌ها یافت می‌شود.

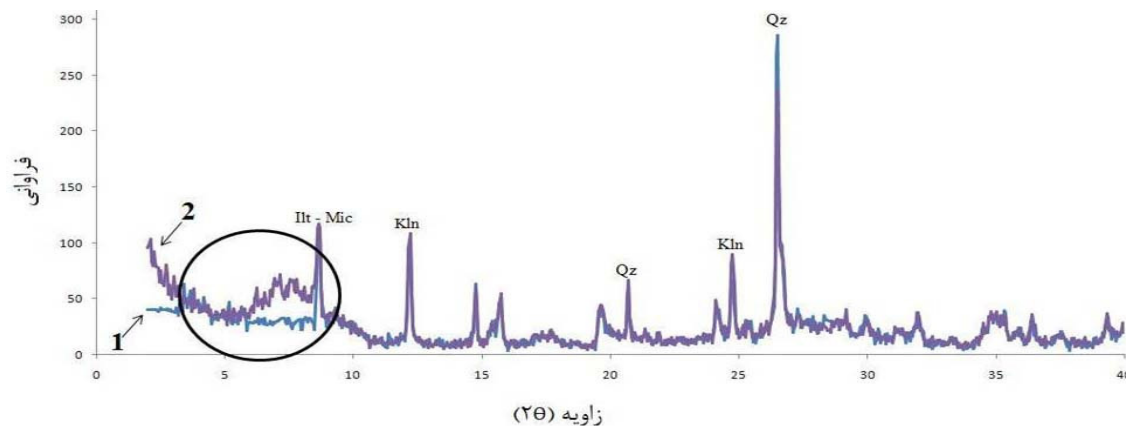
و اکسیدهای آهن، این زون برای وجود کائولینیت حائز اهمیت است. عدم حضور مونتموریونیت را می‌توان به غالب بودن یون K نسبت به یون‌های Ca و Na در محلول، pH اسیدی در سیالات مؤثر در دگرسانی، کمبود سیلیس برای تشکیل مونتموریونیت و فشار لیتوستاتیک ناشی از طبقات فوقانی و یا عمق تشکیل دگرسانی نسبت داد، به‌طوری که با کاهش عمق مقدار سیلیس افزایش یافته و فشار حاکم برای خارج کردن آب از ساختار مونتموریونیت کاهش می‌یابد و باعث تمرکز این کانی می‌شود. از طرفی اگر به جای H^+ در مونتموریونیت یون K^+ قرار بگیرد (به منظور خنثی نمودن و کمبود ناشی از جانشینی Al^{3+} با Si^{4+} در لایه اکتاادر) ایلیت تشکیل می‌شود. به‌طور کلی می‌توان گفت که حضور مقادیر بالایی از یون K^+ و محیطی اسیدی تر نسبت به قسمت‌های سطحی دگرسانی، شرایط لازم را جهت حضور کائولینیت و عدم حضور مونتموریونیت در قسمت‌های عمقی فراهم کرده است همچنین از دگرسانی آرژیلیک موجود در قسمت شمالی معن دو نمونه، یکی نزدیک به توده‌ی نفوذی و از قسمت تحتانی دگرسانی و دیگری از قسمت فوقانی دگرسانی و نزدیک به حاشیه‌ی کانسار انتخاب شده است. مطالعه



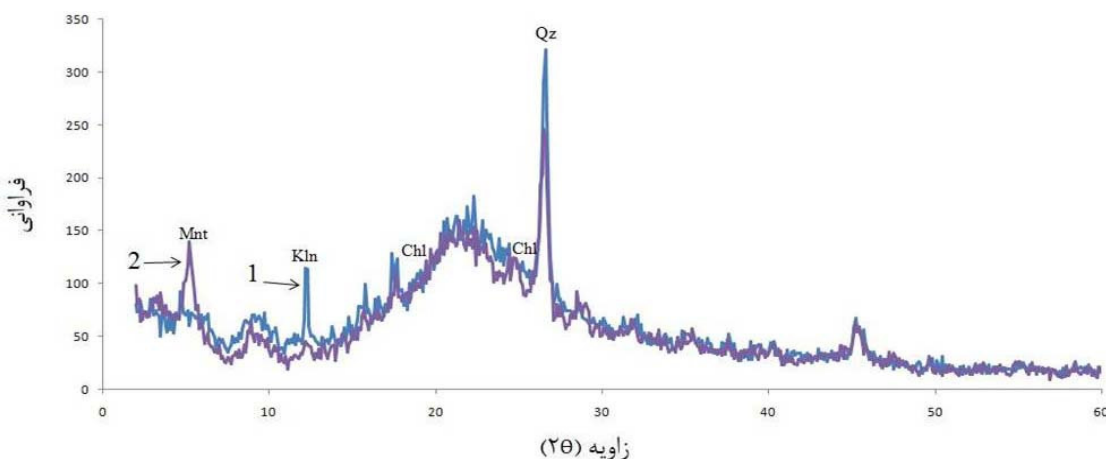
شکل ۱۰. پیک‌های حاصل از نمونه‌های نزدیک به توده نفوذی (Sar 137-1) و نزدیک به حاشیه (Sar 137-2) در محدوده‌ی غربی دگرسانی آرژیلیک کانسار مس پورفیری سرچشم. همانطور که ملاحظه می‌شود تغییر محسوسی در پیک‌ها دیده نمی‌شود و پیک‌ها کاملاً بر هم منطبق‌اند. (Ilt: ایلیت، Mic: کائولینیت، Qz: کوارتز، Kln: میکا (سرسیت)، Py: پیریت).



شکل ۱۱: پیک‌های حاصل از روش تیمار کردن نمونه‌های Sar 137-et-2 و Sar 137-et-1 حاصل از محدوده‌ی غربی دگرسانی آژیلیک کانسار مس پورفیری سرچشمه که به مقدار زیادی شبیه به هم می‌باشند. (Ilt: ایلیت، Kln: کانولینیت، Mic: کوارتز، Qz: میکا (سرسیت)، Py: پیریت).



شکل ۱۲. پیک‌های حاصل از نمونه‌های نزدیک به توده نفوذی Sar 123-1 و نزدیک به حاشیه (2) Sar 123-2 در محدوده‌ی شمالی دگرسانی آژیلیک کانسار مس پورفیری سرچشمه. بدعلت وجود مخلوط لایه در قسمت مشخص شده در شکل انجام روش تیمار کردن نمونه‌ها لازم می‌باشد. (Ilt: ایلیت، Kln: کانولینیت، Qz: کوارتز، Mic: میکا (سرسیت)).



شکل ۱۳. پیک‌های حاصل از روش تیمار کردن نمونه‌های Sar 123-1 و Sar 123-2 حاصل از محدوده‌ی شمالی دگرسانی آژیلیک کانسار مس پورفیری سرچشمه، همانطور که مشاهده می‌شود در نمونه‌های نزدیک به توده نفوذی کانولینیت (پیک شماره‌ی ۱) و در نمونه‌های خارجی یا حاشیه‌ای (پیک شماره‌ی ۲) مونتموریونیت افزایش می‌باید. (Ilt: ایلیت، Kln: کانولینیت، Mnt: مونتموریونیت، Qz: کوارتز، Mic: میکا (سرسیت)، Chl: کلریت).

- پورفیری سرچشمہ (کرمان)، پایان‌نامه کارشناسی ارشد زمین‌شناسی اقتصادی، دانشگاه شهید بهشتی ۱۰۰ صفحه.
- [4] Bazin, D., Hubner, H (1969) "La region cuprifere a gisements porphyriques de Kerman (Iran)", Mineral Deposita 4, 200-211p.
- [5] Beane, R.E., and Bodnar, R.J (1995) "Hydrothermal fluids and hydrothermal alteration in porphyry copper deposits", in Pierce, F.W., and Bohm J.G., eds., porphyry copper deposits of the American Cordillera, Arizona Geological Society Digest 20, 82-93p.
- [6] Corbett, G.J (2002) "Epithermal gold for exploration", Astralian Institute of Geoscientists Presidents Lecture: AIG Journal 67, 8p.
- [7] Cox, K. G., Bell, J. D. AND Pankhurst, R. J (1979) "The interpretation of igneous rocks", George, Allen and Unwine, Londone.
- [8] Dimitrijevic, M.D., Dimitrijevic, M.N., Djordjevic, M., Vulovic, D (1971) "Geological Survey of Iran, 1:100,000 series", sheet 7149, Pariz.
- [9] Emami, H (1992) "Geology of the Sar-Cheshmeh Copper Deposit: Internal Reports", Sar-Cheshmeh Copper Company.
- [10] Etminan, H (1977) "Le porphyry cuprifere de Sarcheshmeh Rol des phases fluide les mecanismes alteration et de mineralization", Iran Geology. Survey 242p.
- [11] Evans, M.A (1993) "Ore Geology and Industrial Minerals An Introduction", Blackwell Science Ltd and Blackwell Publishing company 389 p.
- [12] Forster, H (1978) "Mesozoic-Cenozoic metallogenesis in Iran", Jnl. Geology. Soc. London 135, 443-455p.
- [13] Gill, J. B (1981) Orogenic andesite and plate tectonics, Springer, Berlin, 389p.
- [14] Gourgaud, A., Vincent, P.M (2003) Petrology of two continental alkaline intraplate series at Emi Koussi volcano. Tibesti, Chad, J. volcan. Geo. Res. 129: 261-272.
- [15] Hezarkhani, A (2006) "Hydrothermal evolutions at the Sar-Cheshmeh porphyry Cu-Mo deposit, Iran: evidence from fluid inclusions", Journal of Asian Earth Sciences 28, 408-422p.
- [16] Irvin, T. N., Baragar, W. R. A (1971) A guide to the classification of the common volcanic rocks, can. Jour. Earth. Seci., No.8, p. 235-458.
- [17] Lowell, J.D., Guilbert, J.M (1970) "Lateral and vertical alteration-mineralization zoning in porphyry ore deposits", Economic Geology 65, 373-408p.
- [18] Muller, D., Groves, D. I (1997) Potassic igneous rocks and associated gold-copper mineralization, Lectute Note in Earth Sciences, NO. 56.

نتیجه‌گیری

بر اساس مطالعات پتروگرافی، ترکیب بیشتر سنگ‌های آتش‌شانی منطقه آندزیتی و بعض‌اً داسیتی می‌باشد؛ که مطالعات پترولوزیکی نیز این امر را تایید می‌کنند. تعیین سری ماقمایی سنگ‌های آتش‌شانی درونگیر کانسار مس پورفیری سرچشمہ، بر اساس نمودارهای AFM انجام شده است، که غالب نمونه‌های مورد مطالعه در محدوده کالکوآلکالن واقع می‌شوند. محدوده سنگ‌های آتش‌شانی کانسار سرچشمہ در محدوده کمان‌های ماقمایی ناشی از فرورانش قرار می‌گیرند، همچنین جهت تمایز کمان ماقمایی حاشیه‌ی قاره‌ای فعال از کمان ماقمایی جزایر قوسی مشخص شد که کمان ماقمایی سازنده سنگ‌های منطقه، ناشی از فرورانش یک پوسته اقیانوسی به زیر یک پوسته قاره‌ای بوده است. مطالعه دگرسانی آرژیلیک در دو محدوده رخمنون‌دار شمالی و غربی کانسار به روش پراش اشعه ایکس (XRD) و با استفاده از روش تیمار کردن انجام شده است، که این نتایج حضور کانی‌های کائولینیت، ایلیت-میکا (سرسیت)، کوارتز و پیریت را به عنوان تنها کانی سولفیدی در محدوده غربی تأیید می‌کند و تغییرات چندانی از داخل به سمت خارج و حاشیه کانسار دیده نمی‌شود و این محدوده فاقد کانه‌زایی می‌باشد. همچنین نتایج حاصل از محدوده شمالی حضور ایلیت-میکا (سرسیت)، کائولینیت، مونتموریونیت، کلریت و کوارتز را تأیید کرده و از داخل به ختارج کائولینیت کاهش یافته و مونتموریونیت افزایش می‌باید و این محدوده هم فاقد کانه‌زایی بوده و فقط دارای اکسیدهای آهن می‌باشد.

منابع

- [۱] امین‌زاده، ب (۱۳۸۵) "مطالعه کانی‌شناسی و ژئوشیمی سیالات درگیر در ارتباط با کانسارسازی مولیبدن در معدن مس سرچشمہ و کاربرد آن در بازیابی موثر مولیبدن"، پایان نامه کارشناسی ارشد زمین‌شناسی اقتصادی، دانشگاه شهید باهنر کرمان، ۱۱۲ صفحه.
- [۲] صالحی، ر (۱۳۸۳) "بررسی ژئوشیمیایی زون‌های آلتھ در معدن مس سرچشمہ و تاثیر معدن کاری در پراکنش و انحلال‌پذیری فلزات سنگین"، پایان‌نامه کارشناسی ارشد، دانشگاه اصفهان، ۱۸۰ صفحه.
- [۳] صفاری، م.م (۱۳۷۷) "بررسی توزیع و تمرکز عناصر کمیاب و گرانبها و عوامل کنترل کننده آن‌ها در کانسار مس

- [19] Pearce, J. A., and Cann, J. R (1973) Tectonic setting of basic volcanic rocks determined using trace element analyses. *Earth Planet. Sci. Lett.*, 19, 290-300.
- [20] Pearce, J. A., Gorman, B. E., and Birkett, T. C (1975) The TiO_2 - K_2O - P_2O_5 diagram: a method of discrimination between oceanic and non-oceanic basalts. *Earth Planet. Sci. Lett.*, 24, 419-426.
- [21] Peccerillo, A., and Taylor, S. R (1976) Geochemistry of Eocene calc-alkaline volcanic rocks from the Kastamonu area, Northern Turkey. *Contributions to Mineralogy and Petrology.*, 58: 63-81.
- [22] Shahabpour, J (1982) "Aspects of alteration and mineralization at the Sarcheshmeh copper – molybdenum deposit. Kerman, Iran", Unpub Ph.D. thesis., Leeds University, 342p.
- [23] Waterman, G.C., Hamilton, R(1975) "The sarcheshmeh porphyry copper deposit", *Economic Geology* 70, 568-576p.
- [24] Winchester, J. A., and Floyed, P. A (1977) Geochemical discrimination of different magma series and their differentiation products using immobile elements. *Chem. Geol.*, 20, 325-343.